

米曲霉外切 β -D-氨基葡萄糖苷酶活性部位研究

李冬霞¹, 夏文水^{2,*}

(1. 苏州农业职业技术学院食品系, 江苏苏州 215008;
2. 江南大学食品学院, 江苏无锡 214122)

摘要:为了解米曲霉外切 β -D-氨基葡萄糖苷酶(GlcNase)的结构特点,采用焦碳酸二乙酯(DEPC)和 N-溴代琥珀酰亚胺(NBS),分别对 GlcNase 分子中的组氨酸(His)残基和色氨酸(Trp)残基进行化学修饰。DEPC 修饰结果表明,有 1 分子 His 残基位于 GlcNase 的活性部位;NBS 修饰结果表明,Trp 残基处于 GlcNase 的活性部位,且至少有 1 分子 Trp 残基位于 GlcNase 活性部位的底物结合部位。

关键词: β -D-氨基葡萄糖苷酶, 化学修饰, 活性部位

Study on active site of exo- β -D-glucosaminidase from *Aspergillus Oryzae*

LI Dong-xia¹, XIA Wen-shui^{2,*}

(1. Food Department, Suzhou Polytechnic Institute of Agriculture, Suzhou 215008, China;
2. School of Food Science and Technology, Jiangnan University, Wuxi 214122, China)

Abstract: To obtain structure information about exo- β -D-glucosaminidase (GlcNase) from *Aspergillus Oryzae*, chemical modification was performed by DEPC and NBS to its histidine residues and tryptophan residues, respectively. Modification of the enzyme by DEPC showed that 1 mole of histidine residue existed in the active site of the enzyme. Modification by NBS showed that tryptophan residues existed in the active site and there was at least 1 mole of tryptophan residue in the substrate binding site.

Key words: exo- β -D-glucosaminidase; chemical modification; active site

中图分类号: TS201.1

文献标识码: A

文章编号: 1002-0306(2010)10-0200-03

β -D-氨基葡萄糖苷酶(GlcNase)属外切壳聚糖酶, 它以外切的形式作用于壳聚糖分子, 依次切断壳聚糖或甲壳低聚糖分子中的 β -1,4-糖苷键, 并将底物最终水解为氨基葡萄糖^[1-2]。截至目前, 国内外关于 GlcNase 的研究报道较少。李冬霞等^[3]从来源于 *Aspergillus Oryzae* 的商品脂肪酶中分离纯化得到一种具有壳聚糖水解能力的酶组分, 根据其作用模式特点, 鉴定其为 GlcNase。酶的活性部位是指酶分子中能直接结合底物, 并催化底物发生化学反应的区域。研究酶活性部位结构中化学基团的种类、数目以及它们在多肽链一级结构和空间结构中的位置, 对于阐明酶的催化机理具有重要的意义^[4]。为进一步了解 *Aspergillus O. GlcNase* 的结构特点, 本工作采用焦碳酸二乙酯(diethylpyrocarbonate, DEPC)和 N-溴代

琥珀酰亚胺(N - bromosuccinimide, NBS), 分别对 GlcNase 分子中的组氨酸残基和色氨酸残基进行了化学修饰, 通过化学修饰前后酶活力的变化情况判断酶活性部位的氨基酸组成。

1 材料与方法

1.1 实验材料

壳聚糖 脱乙酰度 82%, 水分含量为 10.1%, 灰分 0.71%, 实验室自制; GlcNase 从来源于 *Aspergillus O.* 的脂肪酶中分离纯化得到的经过冷冻干燥的纯化酶; DEPC、NBS、牛血清蛋白 Sigma 公司; 氨基葡萄糖盐酸盐、氨基酸标样、缓冲液用盐 上海国药集团。

1.2 实验方法

1.2.1 组氨酸残基的修饰 在酶液中加入不同浓度的 DEPC 乙醇溶液, 在 30°C 恒温水浴中保温不同时间, 加入过量的 His 除去未反应的 DEPC 后, 测定酶液的残余活力, 即修饰后的酶活占未修饰酶活的百分比。同时测定在 30°C 水浴中保温的加入乙醇的酶液的酶活力, 以此活力为 100%。

收稿日期: 2010-04-12 * 通讯联系人

作者简介: 李冬霞(1980-), 女, 博士, 讲师, 研究方向: 生物活性物质及功能性食品。

基金项目: 国家自然科学基金项目(20576104)。

羟胺对修饰酶活力的恢复作用:在经 DEPC 修饰后的酶中加入适量羟胺溶液(以 HCl 调正其 pH 至 7),使羟胺浓度达到 0.2 mol/L,在 30℃ 下作用不同时间后测定酶的活力。空白为未经 DEPC 修饰的样品,其他处理都与样品相同。计算各作用时间下酶的残余活力。

1.2.2 色氨酸残基的修饰 参照 Spande 和 Witkop 的方法^[5]进行实验。以 0.02 mol/L pH5.0 的醋酸-醋酸钠缓冲液为对照,在样品皿中加入溶于相同缓冲液(0.02 mol/L, pH5.0)的酶液(1.1 μmol/L),间隔一定时间,同时向两种溶液中分别连续滴加 10 μL 的 NBS 溶液(溶于 0.02 mol/L, pH5.0 的磷酸盐缓冲液),混匀,放置一段时间,分别测定两样品的酶活力和在 280 nm 处的吸光度,计算被氧化修饰的 Trp 残基数。

底物保护作用:先将适量的壳聚糖溶液与酶结合,在 30℃ 水浴中作用不同时间后,再加入 NBS 溶液,使 NBS 浓度为 0.5 mmol/L,在 30℃ 水浴中对酶进行修饰 30 min 后,测定剩余酶活,以不加 NBS 的酶液活力为参照。

1.2.3 壳聚糖酶活测定 吸取壳聚糖溶液于具塞试管中,在 60℃ 下保温 5 min 后加入酶液,立即摇匀。反应 30 min 后加入碱性铁氰化钾试剂并在沸水中煮 10 min 以中止反应,离心除去不溶物,在 420 nm 下测定吸光度,以氨基葡萄糖为标准物质计算还原糖的生成量^[6]。壳聚糖酶活力单位定义为:在 60℃、pH5.0 下酶与底物反应,每分钟形成 1 μmol 氨基葡萄糖所需要的酶量。

1.2.4 蛋白质含量测定 采用 Bradford 法测定^[7],以牛血清蛋白作为标准物质作标准曲线。

2 结果与讨论

2.1 组氨酸的化学修饰

DEPC 是应用最广泛且灵敏度较高的 His 残基修饰剂,它在近中性的条件下能使组氨酸咪唑基团的一个氮原子羧乙基化^[8]。用不同浓度 DEPC 修饰 GlcNase,在 30℃ 恒温水浴中保温 40 min 的修饰结果见图 1。由图 1 可以看出,DEPC 能导致 GlcNase 产生显著的失活效应,而且随着 DEPC 浓度的增大,GlcNase 的失活作用也愈加明显。在 DEPC 的浓度达到 41.6 mmol/L 时,与 GlcNase 作用 40 min 能抑制 90.5% 的酶活。

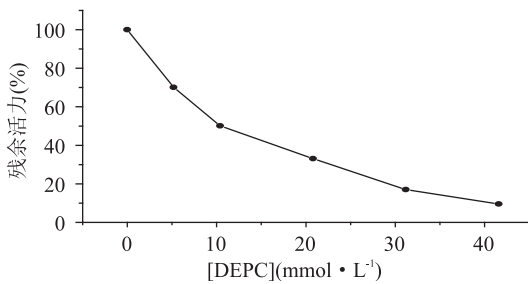


图 1 DEPC 引起的 GlcNase 失活反应

由图 2 可以看出,DEPC 引起的 GlcNase 失活反应遵守假一级反应规律。当 DEPC 浓度大于 GlcNase 浓度时,即 [DEPC] > [GlcNase],则表观速率常数 k_{obs} 与 [DEPC] 有以下关系:

$$\log k_{obs} = n \log [DEPC] + \log k$$

式中,n 表示与 GlcNase 的 His 残基反应使其失活所需 DEPC 的摩尔数^[9]。

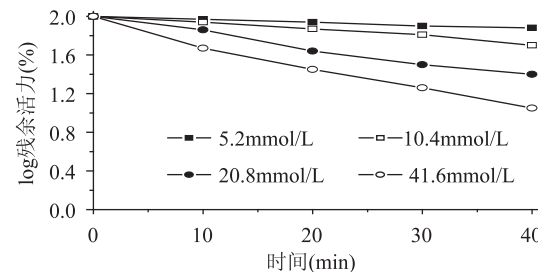


图 2 DEPC 引起 GlcNase 的失活反应的动力学

对表观反应速度常数 k_{obs} 的对数与 [DEPC] 的对数作图,结果见图 3。由图 3 可以看出,表观反应速度常数 k_{obs} 的对数与 DEPC 浓度的对数呈线性关系,其斜率为 0.9848,表明 DEPC 修饰了 1 个 His 残基,即 GlcNase 分子中有 1 个 His 残基位于其活性部位。

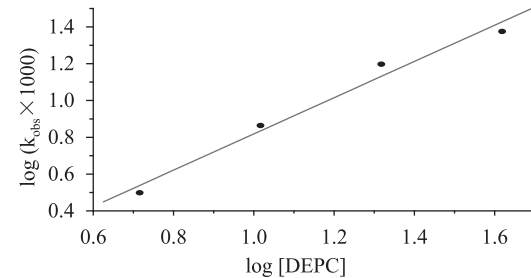


图 3 由 DEPC 引起的 GlcNase 失活反应的表观速率常数与 DEPC 浓度的关系

羟胺是将受到修饰的 His 和酪氨酸中乙氧基甲酰基团移除的有效试剂,但更稳定的乙氧基甲酰基-半胱氨酸和乙氧基甲酰基-赖氨酸则不能被羟胺恢复^[10]。图 4 显示了盐酸羟胺对 DEPC 修饰的 GlcNase 活性的恢复作用。在酶活为初始酶活的 33% 时加入盐酸羟胺,随着羟胺加入后时间的延长,酶的活力逐渐恢复,最终趋于稳定,活力恢复到空白酶活的 91.2%。羟胺对酶活的恢复作用证实了 DEPC 使酶活下降的原因在于修饰了其中的 His 残基。

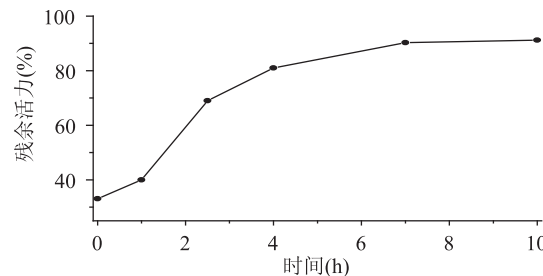


图 4 羟胺对 DEPC 修饰的 GlcNase 酶活的恢复作用

2.2 色氨酸残基的化学修饰

Trp 残基一般位于酶分子内部,而且比巯基和氨基等一些亲核基团的反应性差,因此 Trp 残基一般不与常用的一些试剂反应。NBS 可以将 Trp 残基中的吲哚基转变成羟吲哚衍生物,该反应迅速且不可逆,并通过 280 nm 处光吸收的减少来跟踪反应^[11]。在酶液中不断加入 NBS 溶液,分别在 30℃ 下测定酶的残余活力和 280 nm 下的吸光度,并计算被修饰的 Trp 残基数目,结果见图 5。随着 NBS 的不断加入,酶的

残余活力逐渐降低,而被修饰的Trp残基数也逐渐增加。当NBS与酶的摩尔比为45.5时,酶的活力完全丧失,此时被修饰的Trp残基数为7.3个。当NBS与酶的摩尔比增大至54.6时,酶分子中被修饰的Trp残基数达到最大,即每摩尔酶分子中有7.8个氨基酸残基被修饰。此后继续加入NBS,酶液在280nm下的吸光度不再发生变化,表明GlcNase分子中能被修饰的Trp已全部被修饰。

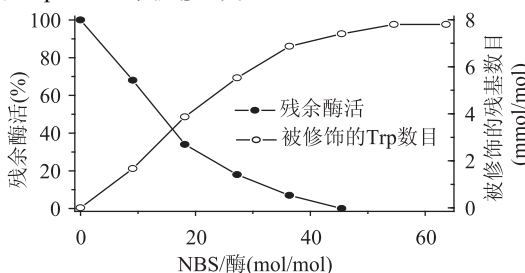


图5 NBS对酶活和被修饰Trp数目影响

在对GlcNase进行NBS修饰之前,先将酶液与壳聚糖溶液混合并作用一段时间,再对酶进行NBS修饰,以此考察底物对酶的保护作用,图6显示了壳聚糖底物对GlcNase的保护作用。可以看出,在不存在壳聚糖的情况下,酶的残余活力仅为16.8%;相反,在存在壳聚糖的情况下,酶的残余活力随着酶与壳聚糖作用时间的延长而逐渐提高,当两者作用时间达到30min时,其残余酶活可提高到93%,这表明底物壳聚糖的存在能够保护酶分子免受NBS的修饰,因此至少有1分子的Trp残基位于GlcNase活性部位的底物结合部位。

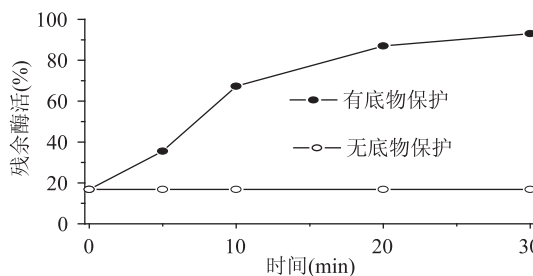


图6 底物对Trp残基的保护作用

上述实验结果表明,Trp残基处于GlcNase的活性部位,且至少有一分子氨基酸残基位于酶活性部位的底物结合部位。

3 结论

3.1 随着浓度的增大,DEPC对GlcNase酶活的抑制作用愈加明显;DEPC引起的GlcNase失活反应遵守

假一级反应规律;表观反应速度常数 k_{obs} 的对数与DEPC浓度的对数呈线性关系,其斜率为0.9848,表明GlcNase中有1个His残基位于活性部位。羟胺对DEPC修饰的酶具有明显的活力恢复作用,证实DEPC引起的酶失活是因为修饰其中的His。

3.2 当NBS与GlcNase的摩尔比为45.5时,酶的活力完全丧失。壳聚糖对酶具有明显的保护作用,表明Trp残基处于GlcNase的活性部位,且至少有1分子Trp残基位于酶活性部位的底物结合部位。

参考文献

- [1] Nanjo F, Katsumi R, Sakai K. Purification and characterization of an exo- β -D-glucosaminidase, a novel type of enzyme, from *Nocardia orientalis* [J]. *J Biol Chem*, 1990, 265: 10088-10094.
- [2] Jung W J, Kuk J H, Kim K Y, et al. Purification and characterization of exo- β -D-glucosaminidase from *Aspergillus fumigatus* S-26 [J]. *Protein Express Purif*, 2006, 45: 125-1311.
- [3] 李冬霞,夏文水.脂肪酶中具有壳聚糖酶活力组分的作用模式及鉴定[J].食品工业科技,2008(8):115-116,120.
- [4] 姜涌明,戴祝英,陈俊明,等.分子酶学导论[M].北京:中国农业大学出版社,2000: 75-84.
- [5] Spanda T F, Witkop B. Determination of the typtophan content of protein with N-bromosuccinimide [J]. *Methods in Enzymology*, 1967(11): 496-506.
- [6] Imoto T, Yagishita K. A simple activity measurement of lysozyme [J]. *Agricultural and Biological Chemistry*, 1971, 35: 1154-1156.
- [7] 张龙翔,张庭芳,李令媛.生化实验方法和技术[M].第二版.北京:高等教育出版社,1997: 138-140.
- [8] Blanke S R, Hager L P. Chemical Modification of Chloroperoxidase with Diethylpyrocarbonate: evidence for the presence of an essential histidine residue [J]. *The Journal of Biological Chemistry*, 1990, 265(21): 12454-12461.
- [9] Levy H M, Leber P D, Ryan E M. Inactivation of myosin by 2,4-dinitrophenol and protection by adenosine triphosphate and other phosphate compounds [J]. *J Biol Chem*, 1963, 238(11): 3654-3659.
- [10] Miles E W. Modification of histidyl residues in proteins by diethylpyrocarbonate [J]. *Methods in Enzymology*, 1977, 47: 431-442.
- [11] 陶慰孙.蛋白质分子基础[M].北京:高等教育出版社,1995: 122-143.
- 及其杀虫抑真菌的作用[J].微生物学报,2009, 49(2): 180-185.
- [8] 陈红漫,刘剑利.耐药性木霉几丁质酶的诱导及其酶学性质研究[J].生命的化学,2004, 24(4): 47-49.
- [9] 肖湘,周樱,王风平.高效几丁质降解菌CB101的分离、鉴定及其几丁质酶系的研究[J].海洋学报,2003, 25(1): 138-140.